Available Online at : https://ojs.unr.ac.id/index.php/wastuloka

# PERBANDINGAN PARAMETER SPEKTRUM RESPONS DESAIN SNI 1726:2012 DENGAN SNI 1726:2019 PADA 12 KABPUATEN/KOTA DI SUMATERA SELATAN

Desak Made Leony Krisna Rossanthi<sup>1</sup>, Iqrimatul Barrarah<sup>2</sup>, Halima Nur Shiyam<sup>3</sup>, Arie Wahyudi Pratama<sup>4</sup>, Fajri Ahmad Nurramdhani<sup>5</sup>, Ni Kadek Astariani<sup>6</sup>

1,2,3,4,5,6 Program Studi Teknik Sipil, Fakultas Sains dan Teknologi, Universitas Ngurah Rai

e-mail: leonykrisna12@gmail.com <sup>1</sup>, iqrimatul09@gmail.com <sup>2</sup>, halimanur2000@gmail.com <sup>3</sup>, arieawp19@gmail.com <sup>4</sup>, fajridani97@gmail.com <sup>5</sup>, kadek.astariani@unr.ac.id <sup>6</sup>

#### INFORMASI ARTIKEL

#### ABSTRACT

Received: June, 2025 Accepted: June, 2025 Publish online: July, 2025 Over time, SNI 1726 has changed based on considerations to maintain the relevance of SNI to market needs, the development of science and technology, maintenance and evaluation of the feasibility and current SNI 1726: 2012 to SNI 1726: 2019. South Sumatra Province is in an area with high earthquake intensity, this is the basis for research to analyze the comparison related to the design spectrum response of SNI 1726: 2012 with SNI 1726: 2019 in 12 selected cities/regencies. The results of this study are the spectral response value of the MCER earthquake acceleration for the short period (Ss) The parameter value of the MCER earthquake acceleration spectra response has increased by a percentage of 2% - 29% in 12 cities/regencies. The spectral response value of the MCER earthquake acceleration for a 1-second period (S1) in 12 cities/regencies in the study area in South Sumatra Province has increased by a percentage of 5% - 2%. Comparison of other parameter values on the type of soil conditions shows varying results. This requires a re-examination of building planning and evaluation of buildings that have been constructed in the study area in South Sumatra Province due to changes in earthquake standards for buildings, especially in locations that have experienced a significant increase in earthquake spectrum response.

Keywords: South Sumatera, Response Spectrum, SNI 1726:2012, SNI 1726:2019

## ABSTRAK

Seiring berjalannya waktu SNI 1726 mengalami perubahan berdasarkan pertimbangan untuk menjaga keterkaitan SNI akan kebutuhan pasar, perkembangan IPTEK, pemeliharaan dan evaluasi kelayakan dan kekinian SNI 1726:2012 menjadi SNI 1726:2019. Provinsi Sumatera Selatan berada pada wilayah dengan intensitas gempa yang tinggi, hal ini yang menjadi dasar penelitian untuk menganalisis perbandingan terkait respon spektrum desain SNI 1726:2012 dengan SNI 1726:2019 pada 12 Kota/Kabupaten terpilih. Adapun hasil penelitian ini nilai respons spektral percepatan gempa MCER untuk perioda pendek (Ss) Nilai parameter respons spektra percepatan gempa MCER mengalami peningkatan dengan presentase 2% - 29% di 12 kota/kabupaten. Nilai respons spektral percepatan gempa MCER untuk periode 1-detik (S1) pada 12 kota/kabupaten wilayah kajian di Provinsi Sumatera Selatan mengalami peningkatan dengan presentase 5%

- 2%. Perbandingan nilai parameter lainnya pada jenis kondisi tanah menunjukan hasil yang bervariasi. Hal tersebut diperlukan pengkajian kembali mengenai perencanaan bangunan maupun evaluasi bangunan yang telah terbangun pada wilayah kajian di Provinsi Sumatera Selatan akibat perubahan standar kegempaan pada bangunan, terutama pada lokasi yang mengalami peningkatan respons spektrum gempa yang signifikan.

Kata kunci: Sumatera Selatan, Spektrum Respons, SNI 1726:2012, SNI 1726:2019

Alamat Korespondensi: E-mail: kadek.astariani@unr.ac.id

#### **PENDAHULUAN**

Indonesia sebagai wilayah rawan gempa memiliki standar peraturan dalam perencanaan bangunan struktur maupun non struktur terhadap ketahanan gempa yaitu SNI 1726 [1]. Seiring berjalannya waktu SNI 1726 mengalami perubahan berdasarkan pertimbangan untuk menjaga keterkaitan SNI akan kebutuhan pasar, perkembangan IPTEK, pemeliharaan dan evaluasi kelayakan dan kekinian. Hal lainnya yang menjadi faktor utama dilakukannya perubahan SNI 1726 yakni dalam upaya mengurangi dampak kerusakan struktur dari perencanaan bangunan yang dilakukan, serta aktivitas gempa di wilayah Indoensia mengalami perubahan secara dinamis. Dengan beberapa faktor perubahan yang menjadi dasar perubahan, maka dilakukan peninjauan dan penyusunan kembali SNI 1726. SNI 1726:2012 menjadi SNI 1726:2019.

SNI 1726:2012 mengacu pada perkembangan pera turan gempa modern (terutama peraturan di Amerika Serikat) seperti FEMA P-750 (Building Seismic Safety Council, 2009), ASCE/SEI 7-10 (2010) dan memperhatikan data kegempaan Indonesia sampai tahun 2010 yang dituangkan pada Peta Gempa Indonesia 2010. Sedangkan SNI 1726:2019 mengacu pada ASCE 7-16 dan didasari dengan pemuktahiran Peta Gempa Nasional yang menghasilkan Peta Sumber dan Bahaya Gempa Indonesia.

Dengan ditetapkannya standar SNI 1726:2019 maka pembangunan yang sedang direncanakan harus menggunakan standar ini. Begitu juga bangunan yang telah terbangun harus dievaluasi keamanannya terhadap standar yang telah berlaku, sehingga diperlukan berbagai studi mengenai perbandingan parameter spektrum respons desain dan implikasinya SNI 1726:2012 dengan SNI 1726:2019.

Provinsi Sumatera Selatan berada pada wilayah dengan intensitas gempa yang tinggi. Potensi bahaya gempa pada Provinsi Sumatera Selatan beasal dari Zona Subduksi Sumatra (Sumatran Subduction Zones) yang merupakan wilayah Lempeng Indo-Australia tektonik menekan di bawah Lempeng Eurasia. Hal ini menjadi dasar penelitian untuk menganalisis perbandingan terkait respon spektrum di wilayah Provinsi Sumatera Selatan dengan membandingkan hasil desain respon spektrum SNI 1726:2012 dengan SNI 1726:2019.

Penelitian ini bertujuan untuk membandingkan besarnya nilai parameter spektrum respons desain SNI 1726:2012 dengan SNI 1726:2019 pada 12 Kota/Kabupaten terpilih di wilayah Provinsi Sumatera Selatan. Kriteria yang menjadi dasar pemilihan lokasi kajian yakni merupakan pusat kota/kabupaten yang memiliki bangunan vital dan menjadi pusat hunian masyarakat.

Beberapa penelitian sebelumnya yang membahas tentang perubahan spektrum respon desain dan parameter SNI 1726:2012 terhadap 1726:2019 diuraikan sebagai berikut:

- a. Penelitian tentang studi perbandingan spektrum response desain SNI 1726:2019 terhadap SNI 1726:2012 di Provinsi Sumatera Utara [2]. Hasil penelitian menyimpulkan bahwa Pada perioda pendek dengan kelas situs SE, ada 18 kota/kab. mengalami kenaikan dan 15 kota/kab mengalami penurunan.
- b. Penelitian tentang perbandingan parameter spektrum respons desain SNI 1726:2012 dengan SNI 1726:2019 pada 39 Kabupaten/Kota di Pulau Jawa [3]. Hasil penelitian menyimpulkan bahwa sebagian besar kabupaten/kota mengalami kenaikan

- dari SNI 1726:2012 ke SNI 1726:2019 yang mana nilai-nilai ini dipengaruhi pada besarnya nilai  $S_{\rm DS}$  dan  $S_{\rm D1}$ .
- c. Penelitian tentang perbandingan respons spektruk gempa antara SNI 1726:2012 dan SNI 1726:2019 di Indonesia [4]. Hasil penelitian menyimpulkan 11 Provinsi mengalami kenaikan respons spektrum sebesar 11%, serta 23 provinsi mengalami penurunan spektrum sebesar 33%.
- d. Penelitian tentang perbandingan nilai paramter spektrum respons desain SNI 1726:2012 dan SNI 1729:2019 pada kecamatan-kecamatan di Kabupaten Bantul Yogyakarta [5]. Hasil penelitian ini menyimpulkan perbandingan nilai S<sub>DS</sub> dan S<sub>DI</sub> dari SNI 1726:2012 dan SNI 1729:2019 banyak kecamatan di Kabupaten Bantul Yogyakarta bervariasi tergantung pada masing-masing kelas situsnya.

Penelitian terdahulu belum ada yang membahas secara rinci tentang perbandingan perubahan spektrum respons desain pada Provinsi Sumatera Selatan akibat diberlakukannya SNI 1729:2019 sebagai revisi dari dari SNI 1726:2012.

#### METODE PENELITIAN

Dalam penelitian ini, parameter yang digunakan merupakan perbandingan spektrum respons desain dan parameter-parameter percepatan spektral desain (S<sub>1</sub>, S<sub>5</sub>, F<sub>a</sub>, F<sub>y</sub>, S<sub>D5</sub>,

dan  $S_{D1}$ ) antara SNI 1726:2012 dengan SNI 1726:2019. Struktur dimodelkan berada pada 12 Kota/Kabupaten dan ditinjau untuk 4 jenis kondisi tanah yaitu batuan (SB), tanah keras (SC), tanah sedang (SD), dan tanah lunak (SE).

Penelitian ini menggunakan data sekunder dengan acuan koordinat 12 kota/kabupaten terpilih di wilayah ProvinsiSumatera Selatan yang dikumpulkan melalui google earth (Tabel 1). Data lain yang diperlukan yakni parameter S<sub>1</sub> dan Ss didapatkan dengan memasukkan nama kota atau koordinat untuk ibukota kabupaten pada:

- a. <a href="http://puskim.pu.go.id/aplikasi/desain\_s">http://puskim.pu.go.id/aplikasi/desain\_s</a> <a href="pektra\_indonesia\_2011">pektra\_indonesia\_2011</a>, untuk SNI 1726 <a href="tabun\_2012">tahun\_2012</a>.
- b. <a href="http://rsa.ciptakarya.pu.go.id/2021">http://rsa.ciptakarya.pu.go.id/2021</a> untuk SNI 1726 tahun 2019.

Dari nilai S<sub>1</sub> dan S<sub>S</sub> tersebut kemudian diolah lebih lanjut untuk mendapatkan parameterparameter gempa Fa, F<sub>v</sub>, S<sub>MS</sub>, S<sub>M1</sub>, S<sub>DS</sub>, S<sub>D1</sub>, T<sub>0</sub>, dan T<sub>S</sub>. Parameter yang telah didapatkan kemudian dibandingkan antara kota/kabupaten yang ditinjau. Dengan menggunakan parameter tersebut dibuatlah grafik spektrum respons desain 12 kota/ kabupaten yang dikaji untuk 4 jenis kondisi tanah (batuan, tanah keras, tanah sedang, dan tanah lunak), kemudian dibandingkan dan diulas apakah mengalami kenaikan, penurunan, atau tidak berubah (tetap).

Tabel 1. Kota/Kabupaten Yang Dikaji

No	Kota/Kabupaten	Koordinat		
	_	Lintang	Bujur	
1	Kota Palembang	-2,9833	104,7833	
2	Kota Prabumulih	-3,4223	104,2474	
3	Kota Pagar Alam	-4,0254	103,2587	
4	Kota Lubuklinggau	-3,2833	102,8611	
5	Kab. Banyuasin	-2,6922	104,5624	
6	Kab. Lahat	-3,7874	103,5363	
7	Kab. Empat Lawang	-3,7495	102,8985	
8	Kab. Muara Enim	-3,4908	103,9845	
9	Kab. Musi Rawas	-3,1350	103,0970	
10	Kab. Ogan Komering Ilir	-3,1914	105,3832	
11	Kab. Ogan Komering Ulu	-4,0767	104,5178	
12	Kab. Musi Banyuasin	-2,6672	103,6931	

Penyusunan grafik respons spektrum rencana, berdasarkan SNI 1726:2019 maupun SNI 1726:2012 dimulai berdasarkan peta  $MC_{ER}$  untuk periode 0,2 detik dan dan peta  $MC_{ER}$  untuk periode 1 detik. Dari peta  $MC_{ER}$  tersebut didapatkan nilai dari percepatan respons

spektrum *Ss* dan *S1*. Kemudian dengan mengalikan nilai percepatan respons spektrum *Ss*, *S1* tersebut dengan faktor amplifikasi kegempaan, *Fa* dan *Fv* akan menghasilkan parameter percepatan respons spektrum sesuai kelas kondisi tanah, S<sub>MS</sub> dan S<sub>MI</sub> (Persamaan 1

59

dan 2). Untuk mendapatkan percepatan respons spektrum rencana untuk periode pendek, S<sub>DS</sub>, dan periode 1 detik, S<sub>D1</sub>, sesuai Persamaan 3 dan 4.

$$S_{MS} = F_{a.}S_{s}$$
 (1)  
 $S_{M1} = F_{v.}S_{1}$  (2)

a. Untuk  $T < T_0$  nilai Sa, spektrum respons percepatan desain, diambil sesuai Persamaan 5.

$$Sa = S_{DS}(0.4 + 0.6\frac{T}{To})$$
(5)

- b. Untuk  $T_0 < T < T_s$ , Nilai Sa, Spektrum respons percepatan rencana, sama dengan  $S_{DS}$ .
- Untuk  $T_s < T \le T_L$ , Nilai Sa, spektrum respons percepatan rencana, sesuai Persamaan 6.

$$Sa = \frac{S_{D1}}{T} \tag{6}$$

d. Untuk  $T > T_L$ , Nilai spektrum respons percepatan rencana sesuai Persamaan 7.

$$S = \frac{S_{D1}T_L}{T^2} \tag{7}$$

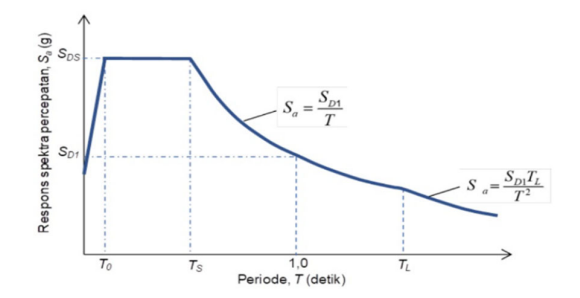
#### Dimana

 $S_{DS}$  = parameter respons spectral percepatan desain pada periode pendek;

$$S_{DS} = 2/3S_{MS}$$
 (3)  
 $S_{D1} = 2/3S_{M1}$  (4)

$$S_{D1} = 2/3S_{M1} \tag{4}$$

Kemudian data-data yang diperoleh dari rumusan di atas diplotkan ke dalam kurva respon spektrum desain seperti Gambar 1 berikut.



 $S_{D1}$  = parameter respons spectral percepatan desain pada periode 1 detik;

 $T_L$  = peta transisi perode panjang; T = periode getar fundamental struktur;

$$T_0 = 0.2 \frac{S_{D1}}{S_{DC}} \tag{8}$$

$$T_{0} = 0.2 \frac{S_{D1}}{S_{DS}}$$

$$T_{0} = \frac{S_{D1}}{S_{DS}}$$
(8)

### HASIL PEMBAHASAN **Koefisien Situs**

Perubahan nilai koefisien Fa dan Fv yang terjadi bervariasi, yakni terdapat nilai yang mengalami penurunan dan sebagian lagi mengalami kenaikan. Disamping itu, pada SNI 1726:2019 terdapat penambahan klasifikasi Ss ≥ 1,5 (sebelumnya pada SNI 1726:2012 hanya sampai Ss ≥ 1,25) dan penambahan klasifikasi  $S1 \ge 0,6$  (sebelumnya pada SNI 1726:2012 hanya sampai  $S1 \ge 0.5$ ). Fluktuasi nilai Fa dan Fv inilah yang menyebab kan terjadinya perbedaan nilai spektrum respon desain. Perbedaan spektrum respon desain tersebut akan dibahas sebagai berikut.

60

Tabel 2. Perubahan Nilai Parameter Ss Pada 12 Kota/Kab. Provinsi Sumatera Selatan

Kota/Kabupaten	Parameter Percepatan Respons Spektral Periode Pendek			
	SS			
	SNI 1726:2012	SNI 1726:2019	Presentase	
Kota Palembang	0,26	0,29	3%	
Kota Prabumulih	0,42	0,48	6%	
Kota Pagar Alam	0,97	1,28	31%	
Kota Lubuklinggau	0,77	1,06	29%	
Kab. Banyuasin	0,24	0,28	5%	
Kab. Lahat	0,62	0,90	28%	
Kab. Empat Lawang	1,36	1,50	14%	
Kab. Muara Enim	0,47	0,58	11%	
Kab. Musi Rawas	0,55	0,84	28%	
Kab. Ogan Komering Ilir	0,22	0,23	2%	
Kab. Ogan Komering Ulu	0,55	0,57	2%	
Kab. Musi Banyuasin	0,33	0,46	13%	
	Kota Palembang Kota Prabumulih Kota Pagar Alam Kota Lubuklinggau Kab. Banyuasin Kab. Lahat Kab. Empat Lawang Kab. Muara Enim Kab. Musi Rawas Kab. Ogan Komering Ilir Kab. Ogan Komering Ulu	Kota/Kabupaten         SNI 1726:2012           Kota Palembang         0,26           Kota Prabumulih         0,42           Kota Pagar Alam         0,97           Kota Lubuklinggau         0,77           Kab. Banyuasin         0,24           Kab. Lahat         0,62           Kab. Empat Lawang         1,36           Kab. Muara Enim         0,47           Kab. Musi Rawas         0,55           Kab. Ogan Komering Ilir         0,22           Kab. Ogan Komering Ulu         0,55	Kota/Kabupaten         SS           SNI 1726:2012         SNI 1726:2019           Kota Palembang         0,26         0,29           Kota Prabumulih         0,42         0,48           Kota Pagar Alam         0,97         1,28           Kota Lubuklinggau         0,77         1,06           Kab. Banyuasin         0,24         0,28           Kab. Lahat         0,62         0,90           Kab. Empat Lawang         1,36         1,50           Kab. Muara Enim         0,47         0,58           Kab. Musi Rawas         0,55         0,84           Kab. Ogan Komering Ilir         0,22         0,23           Kab. Ogan Komering Ulu         0,55         0,57	

### Parameter Percepatan Respons Spektral $MCE_R$

Perubahan nilai respons spektral percepatan gempa MCE<sub>R</sub> untuk periode pendek (Ss) dan periode 1-detik (S1) akibat ditetapkannya peraturan SNI 1726:2019 sebagai revisi SNI 1726:2012 pada 12 kota/kabupaten di Provinsi Sumatera Selatan dapat dilihat pada Tabel 2 dan 3.

Nilai respons spektral percepatan gempa MCE<sub>R</sub> untuk perioda pendek (Ss) mengalami

peningkatan dengan persentase berkisar 2% -31% di 12 kota/kabupaten Provinsi Sumatera Selatan dengan peningkatan tertinggi terjadi di Kota Pagar Alam.

Nilai respons spektral percepatan gempa MC<sub>ER</sub> untuk perioda 1-detik (S1) mengalami peningkatan dengan persentase berkisar 5% -21% di 12 Kota/Kabupaten dengan peningkatan tertinggi terjadi di Kota Lubuklinggau.

Tabel 3. Perubahan Nilai Parameter S	S <sub>1</sub> Pada	12 Kota/Kab. P	rovinsi Sumatera Selatan	

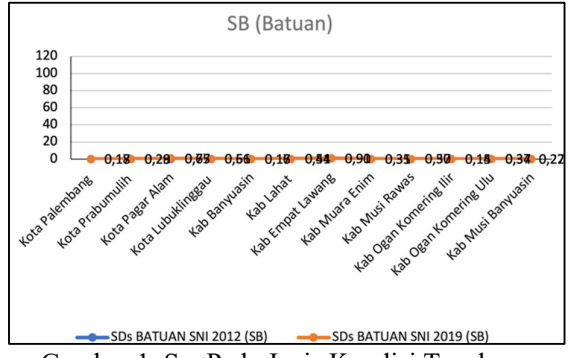
		an Respons Spektral l	Respons Spektral Periode Pendek		
No	Kota/Kabupaten	$\overline{S_1}$			
		SNI 1726:2012	SNI 1726:2019	Presentase	
1	Kota Palembang	0,16	0,25	8%	
2	Kota Prabumulih	0,23	0,34	11%	
3	Kota Pagar Alam	0,43	0,60	17%	
4	Kota Lubuklinggau	0,38	0,60	21%	
5	Kab. Banyuasin	0,16	0,25	9%	
6	Kab. Lahat	0,33	0,51	19%	
7	Kab. Empat Lawang	0,55	0,60	5%	
8	Kab. Muara Enim	0,25	0,38	13%	
9	Kab. Musi Rawas	0,32	0,51	20%	
10	Kab. Ogan Komering Ilir	0,14	0,21	7%	
11	Kab. Ogan Komering Ulu	0,26	0,36	10%	
12	Kab. Musi Banyuasin	0,22	0,34	12%	

# Parameter Respons Spektra Percepatan S<sub>DS</sub> dan S<sub>D1</sub>

Parameter nilai Ss dan Fa digunakan untuk menghitung respons spektra percepatan pada periode pendek,  $S_{DS}$ , sedangkan S1 dan Fv digunakan untuk menghitung parameter respons spektra percepatan pada periode 1detik, S<sub>D1</sub>. Hasil dari Nilai S<sub>DS</sub> dan S<sub>D1</sub> SNI 1726:2012 kemudian dibandingkan dengan nilai S<sub>DS</sub> dan S<sub>D1</sub> SNI 1726:2019. Perbandingan nilai  $S_{DS}$  dan  $S_{D1}$  untuk kriteria jenis kondisi tanah (batuan, tanah keras, tanah sedang, dan tanah lunak), dapat dilihat pada Gambar 1-8.

Berdasarkan hasil pengamatan, untuk nilai  $S_{DS}$ pada jenis kondisi tanah batuan (SB) yang ditunjukkan pada Gambar 1, terdapat 8 kota/kabupaten di Provinsi Sumatera Selatan mengalami peningkatan dengan nilai 0,01 -Kota/kabupaten memiliki 0,15, yang peningkatan tertinggi yakni Kota Lubuklinggau. 4 kota/kabupaten mengalami

penurunan dengan nilai 0,05 kota/kabupaten yang memiliki penurunan tertinggi yakni Kabupaten Ogan Komering Ulu.

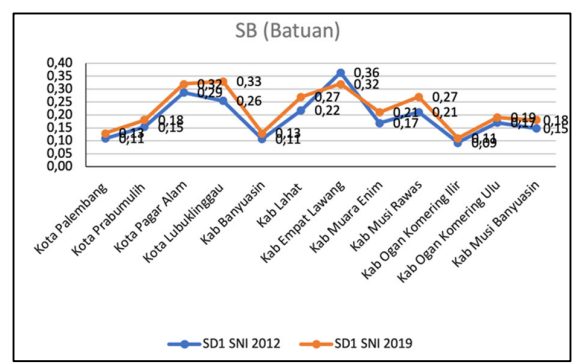


Gambar 1. S<sub>DS</sub> Pada Jenis Kondisi Tanah Batuan (SB)

Hasil pengamatan kriteria respons spektra percepatan periode 1-detik (S<sub>D1</sub>) pada jenis kondisi tanah batuan (SB) yang ditunjukkan pada Gambar 2, terdapat 11 kabupaten/kota

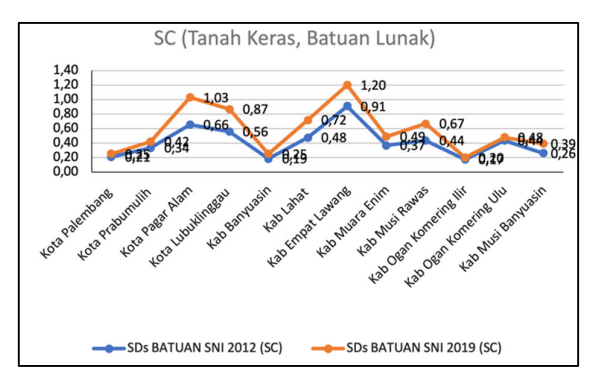
61

mengalami peningkatan dengan nilai 0,02 – 0,08, peningkatan tertinggi terjadi pada Kota Lubuklinggau. Adapun 1 kabupaten/kota mengalami penurunan pada kondisi jenis tanah batuan (SB) dengan nilai sebesar 0,04 yakni Kabupaten Empat Lawang.



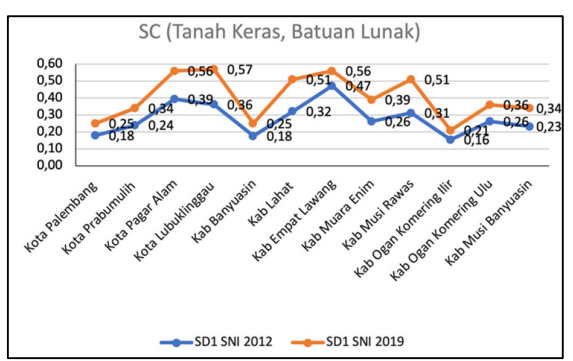
Gambar 2. S<sub>D1</sub> Pada Jenis Kondisi Tanah Batuan (SB)

S<sub>DS</sub> pada jenis kondisi tanah keras (SC) kota/kabupaten kajian di Provinsi Sumatera Selatan mengalami peningkatan ditunjukkan Gambar 3, dengan nilai 0,03 – 0,38. Wilayah dengan presentase peningkatan tertinggi dimiliki oleh Kota Pagar Alam dan terendah yakni Kabupaten Ogan Komering Ilir.



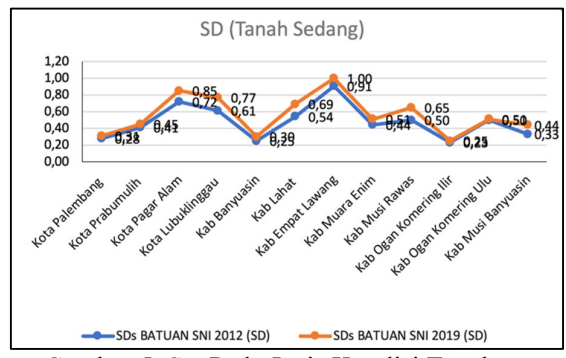
Gambar 3. S<sub>DS</sub> Pada Jenis Kondisi Tanah Keras (SC)

Kriteria respons spektra percepatan periode 1-detik (S<sub>D1</sub>) pada jenis kondisi tanah keras (SC) kota/kabupaten kajian di Provinsi Sumatera Selatan mengalami peningkatan ditunjukkan Gambar 4, dengan nilai 0,06 – 0,21. Wilayah dengan presentase peningkatan tertinggi dimiliki oleh Kota Lubuklinggau dan terendah yakni Kabupaten Ogan Komering Ilir.



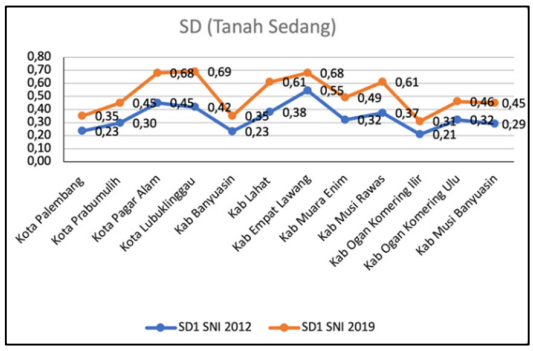
Gambar 4. S<sub>D1</sub> Pada Jenis Kondisi Tanah Keras (SC)

Berikutnya S<sub>DS</sub> pada jenis kondisi tanah sedang (SD) kota/kabupaten kajian di Provinsi Sumatera Selatan mengalami peningkatan ditunjukkan Gambar 5, dengan nilai 0,01 - 0,16. Wilayah dengan presentase peningkatan tertinggi dimiliki oleh Kota Lubuklinggau dan terendah yakni Kabupaten Ogan Komering Ilir.



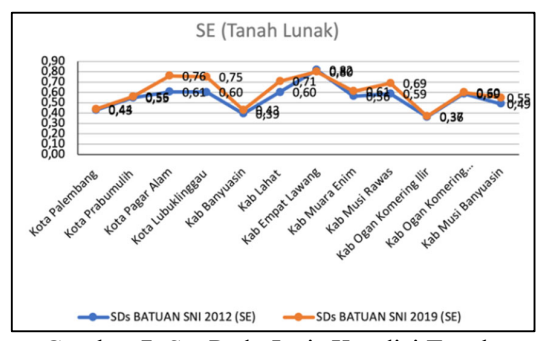
Gambar 5. S<sub>DS</sub> Pada Jenis Kondisi Tanah Sedang (SD)

Kriteria respons spektra percepatan periode 1-detik ( $S_{\rm DI}$ ) pada jenis kondisi tanah sedang (SD) kota/kabupaten kajian di Provinsi Sumatera Selatan mengalami peningkatan ditunjukkan Gambar 6, dengan nilai 0,10 – 0,27. Wilayah dengan presentase peningkatan tertinggi dimiliki oleh Kota Lubuklinggau dan terendah yakni Kabupaten Ogan Komering Ilir.



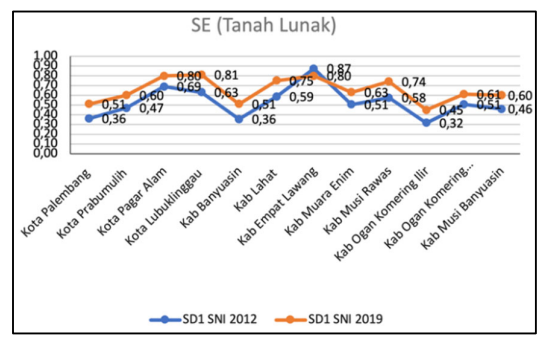
Gambar 6. S<sub>D1</sub> Pada Jenis Kondisi Tanah Sedang (SD)

S<sub>DS</sub> pada jenis kondisi tanah lunak (SE) yang ditunjukkan pada Gambar 7, terdapat 11 kota/kabupaten kajian di Provinsi Sumatera Selatan mengalami peningkatan dengan nilai 0,01 – 0,16, Kota/kabupaten yang memiliki peningkatan tertinggi yakni Kota Pagar Alam. 1 kabupaten mengalami penurunan dengan nilai 0,02 yakni Kabupaten Empat Lawang.



Gambar 7. S<sub>DS</sub> Pada Jenis Kondisi Tanah Lunak (SE)

Kriteria respons spektra percepatan periode 1-detik ( $S_{\rm D1}$ ) pada jenis kondisi tanah lunak ditunjukan pada Gambar 8, terdapat 11 kota/kabupaten kajian di Provinsi Sumatera Selatan mengalami peningkatan dengan nilai 0,10 – 0,18, Kota/kabupaten yang memiliki peningkatan tertinggi yakni Kota Lubuklinggau. 1 kabupaten mengalami penurunan dengan nilai 0,07 yakni Kabupaten Ogan Komering Ulu.



Gambar 8. S<sub>D1</sub> Pada Jenis Kondisi Tanah Lunak (SE)

Berdasarkan analisis di atas menunjukkan bahwa sebagian besar kota/ kabupaten kajian di Provinsi Sumatera Selatan mengalami kenaikan nilai pada hasil perbandingan parameter S<sub>DS</sub> dan S<sub>D1</sub> mengacu pada aturan SNI 1726:2012 dan SNI 1726:2019. Disamping itu, terdapat juga beberapa kabupaten yang mengalami penurunan nilai pada beberapa jenis kondisi tanah yakni Kabupaten Ogan Komering Ulu, Kabupaten Ogan Komering Ilir, serta Kabupaten Empat Lawang.

### PENUTUP Simpulan

hasil Dari analisis perbandingan 1726:2019 terhadap SNI 1726:2012 yang telah dilakukan, dapat disimpulkan bahwa perubahan nilai koefisien Fa dan Fv pada parameter SNI menyebabkan perubahan yang bervariasi pada nilai respons spektra pada wilayah kajian di Provinsi Sumatera Selatan. Nilai respons spektral percepatan gempa MC<sub>ER</sub> untuk perioda pendek (Ss) Nilai parameter respons spektra percepatan gempa  $MC_{ER}$ mengalami peningkatan dengan presentase 2% - 29% di 12 kota/kabupaten, peningkatan tertinggi terjadi di Kota Lubuklinggau. Nilai respons spektral percepatan gempa MC<sub>ER</sub> untuk periode 1-detik (S<sub>1</sub>) pada 12 kota/kabupaten wilayah kajian di Provinsi Sumatera Selatan mengalami peningkatan dengan presentase 5% - 21%, wilayah dengan peningkatan tertinggi yakni Kota Lubuklinggau.

Berikutnya, terjadi variasi perubahan nilai parameter respons spektrum gempa pada jenis kondisi tanah kota/ kabupaten di Provinsi Sumatera Selatan.

a) Nilai  $S_{DS}$  pada jenis kondisi tanah batuan (SB) terdapat 8 kota/kabupaten mengalami peningkatan dengan nilai 0.01 - 0.15, serta

- 4 kota/kabupaten mengalami penurunan dengan nilai 0.05-0.03, kota/kabupaten yang memiliki penurunan. Hal lainnya, nilai  $(S_{\rm D1})$  pada jenis kondisi tanah batuan (SB) terdapat 11 kabupaten/kota mengalami peningkatan dengan nilai 0.02-0.08 dan 1 kabupaten/kota mengalami penurunan dengan nilai sebesar 0.04.
- b) Nilai S<sub>DS</sub> pada jenis kondisi tanah keras (SC) kota/kabupaten kajian mengalami peningkatan dengan nilai 0,03 0,38.
   Disamping itu, nilai S<sub>D1</sub> pada jenis kondisi tanah keras (SC) dengan nilai 0,06 0,21.
- c) Nilai S<sub>DS</sub> pada jenis kondisi tanah sedang (SD) kota/kabupaten kajian mengalami peningkatan dengan nilai 0,01 - 0,16. Hal lainnya, (S<sub>D1</sub>) pada kondisi tanah sedang (SD) mengalami peningkatan dengan nilai 0,10 - 0,27.
- d) Nilai S<sub>DS</sub> pada jenis kondisi tanah lunak (SE) yang, terdapat 11 kota/kabupaten kajian mengalami peningkatan dengan nilai 0,01 0,16. 1 kabupaten mengalami penurunan dengan nilai 0,02 yakni Kabupaten Empat Lawang. Hal lainnya, nilai (S<sub>D1</sub>) pada jenis kondisi tanah lunak terdapat 11 kota/kabupaten kajian di Provinsi Sumatera Selatan mengalami peningkatan dengan nilai 0,10 0,18, 1 kabupaten mengalami penurunan dengan nilai 0,07.

## Saran

Berdasarkan hasil perbandingan nilai parameter pada SNI 1726:2012 dan SNI 1726:2019 diperlukan pengkajian kembali mengenai perencanaan bangunan maupun evaluasi bangunan yang telah terbangun pada wilayah kajian di Provinsi Sumatera Selatan akibat perubahan standar kegempaan pada bangunan, terutama pada lokasi yang mengalami peningkatan respons spektrum gempa yang signifikan.

#### **DAFTAR PUSTAKA**

- [1] Muhtadin, Hanif. (2023). Perbandingan Respon Spektrum, Gaya Geser Dasar, dan Simpangan Antar Lantai Bangunan Berdasarkan SNI 1726-2019 dan SNI 1726-2012. *Universitas Islam Indonesia*.
- [2] Sitompul., et al. (2022). Studi Perbandingan Spektrum Respons Desain SNI 1726:2019 Terhadap SNI 1726:2012 di Provinsi Sumatera Utara. *Jurnal Teknik Sipil*. 11(1).

- [3] Patria, Agustinus. (2021). Perbandingan Parameter Spektrum Respons Desain SNI 1726:2012 Dengan SNI 1726:2019 Pada 39 Kabupaten/Kota DI Pulau Jawa. *Jurnal Keilmuan Teknik Sipil*. 4(1).
- [4] Afnan., et al. (2020). Perbandingan Respons Spektrum Gempa Antara SNI 1726-2012 DAN sni 1726-2019 di Indonesia. Universitas Sarjanawiyata Tamansiswa, Yogyakarta.
- [5] Patria., et al. (2022). Perbandingan Nilai Parameter Spektrum Respons Desain SNI 1726:2012 dan SNI 1726:2019 Pada Kecamatan-Kecamatan di Kabupaten Bantul Yogyakarta. *Jurnal Keilmun Teknik Sipil.* 5(1).